

C - H
(CH₂, CH₃, ...)

CeH₃

Bp-1686-VIII

1902

Kellnberger F.
Krafft K

(Gp) Liebigs. Ann. Chem., 1902,
325, 278-

VII - 5779

1926

СН, Natl, Mu N, GR (Ргнс)

Жуков И.И.

Ур. Уни-та физ.-хим. аспирант Ак СССР

1926, 3, том. 1, 462-463



Б

лес 90.к

1928

Bsp VIII - 2326

Ce₃H₈ (0 Hf°)

Sierents A., Botta A.,
Z. anorgan. und allgem. Chem.,
1928, 172, 1-31.

VIII 1375

CeH₃

(Tm)

1955

Dialer K. Rothe W.,

Naturwissenschaften, 1955, 42, N 2, 44-45

Darstellung eines definierten Cerhydrids

CeH₃ und Nachweis der Existenz von CeH₂

РХ, 1955, N 5, 12620

БСГА Ф. Н.

VIII. 1374
1955

CeH₃

(P, Δ^HHCl)

Dialer K., Roche W.,

Z. Electrochem., 1955, 59, N 10,
970-976

Über das System Cer-Wasserstoff

Przehum, 1958, 3789

M, des.

1955

Stansport, Conn.

CeH₂

Mulford Robert N. R., Holley
Charles E., Jr.

J. Phys. Chem., 1955, 59, N12,
1222 - 1226.

S. Koch.

Изучение соотношений
давление - температура - состав
текоморских синтетических
кислых эпоксидов борогор.

X - 57 - 5 - 14648

app
Российск. Акад.

Марка

1957

Се. Н₂

Эксп. Несоргат. химии, 1957,
2, № 12, 2689-2693.

О химических свойствах
и природе гидридов галогенов.

X-19-58-69003

1957

Мухеева Б.И. Косм. № 2.

Се Н₃- Докл. АН СССР, 1957, 115, № 1

Се Н_{3,16} 100-102

Образовавшиеся зернистые
ногороды.

Образование

X-58-6-17.347

Мухеева Б.Н., Кост М.Е. | 1958

CeH₃ ЖМХ, 1958, 3, №, 260

CeH_{3,15} О гидридах церия

CeH₂ CeH₃ при 200°C разлагается в соч. CeH₂

CeH₂ чистый при 1080°C.

С разложением

X-19-58-68 004

Эфаксоро.

1958

Ce-H₂

Ayphassorho Claude

C. r. Acad. Sci., 1958,
247, № 19, 1597-1599.

Красноярско-Бородинское
издание Сибирской ге-
ологической библиотеки.

X-59 19-67117

1960

6B22. О гидридах редкоземельных металлов и возможности их практического применения. Михеева В. И., Кост М. Е. В сб. «Редк. металлы и сплавы». М., Металлургиздат, 1960, 202—208.—Изложены некоторые результаты работ авторов по синтезу и изучению свойств гидридов Ce. До 200° гидрирование Ce идет с индукционным периодом, при увеличении т-ры скорость гидрирования возрастает, достигает максимума при 250—300°, уменьшается с повышением т-ры до 700° и при дальнейшем росте т-ры вновь увеличивается. На кривой т-ра — состав гидрида имеются площадки, отвечающие соединениям CeH_2 и CeH_3 . При нагревании CeH_3 теряет 1-й атом H при 150—600° и остальные 2 при 1050—1150°. Плотность в системе Ce — CeH_3 имеет минимум при составе CeH_2 . Гидрид CeH_3 весьма химически активен, его полный гидролиз протекает за 40—50 мин.; гидролиз CeH_2 длится 20—30 час. Авторы считают, что в CeH_2 проявляется металлич. характер связи Ce—H, а CeH_3 имеет свойства солеобразного гидрида.

В. Родоловский

CeH_2
 CeH_3

2.1961.6

1960

15Б365. Фазовые свойства и упорядоченность гидрида церия. Streck R., Dialer K. Phasenverhalten und Ordnungszustände der Cerhydride. «Z. anorgan. und allgem. Cheb.», 1960, 306, № 3—4, 141—158 (нем., рез. англ.).—Рентгенографическим и тензиметрич. методами исследована система Ce — H₂ при 100—800°. В области CeH_{1,8} — CeH₃ система состоит из одной фазы со структурой гранецентр. куба с параметром решетки, уменьшающимся от 5,57 до 5,52 Å (CeH_{2,93}). Изотермы системы состоят из двух ветвей: горизонтальной и круто поднимающейся. Изломы наблюдаются у CeH_{1,88} при 550° и CeH_{1,76} при 800°. Изобара системы ($P = 1 \text{ atm}$) наглядно указывает на невозможность получения CeH₃ при атмосферном давлении и $t > 100^\circ$. Изостеры, отвечающие 15 различным составам, использованы для расчета ΔH образования CeH_x. В двухфазной области Ce + CeH_{1,8} величина ΔH остается постоянной (55 ккал/моль H₂). Вблизи состава CeH_{1,8} она резко уменьшается. Исследованные свойства гидридов Ce зависят от предыстории образца (т-ра получения, термич. обработка), влияющей на упорядоченность его структуры. Ю. В.

CeH₂
CeH₃

ΔH

окт 1961.15

CeH₂
PrH₂

7Б248.) Температурная зависимость сопротивления твердых фаз CeH₂ и PrH₂. Da ou Joseph N. Variations thermiques de la résistivité des phases solides CeH₂ et PrH₂. «C. r. Acad. sci.», 1961, 252, № 24, 3791—3793 (франц.).—Получены температурные зависимости сопротивления ρ CeH₂ и PrH₂. Образцы гидридов получали прямым действием водорода на тонкие пластиинки исходных элементов при 500°. Измерения ρ проводили при постепенном охлаждении от 500° до температуры жидкого азота. Кривые температурной зависимости ρ гидридов линейны до 200° и в случае CeH₂ схожи по характеру с аналогичной зависимостью самого Ce. Выше 200° ρ растет по логарифмич. закону; что объясняется образованием вакансий. Энергия образования вакансий равна 0,35 эв для CeH₂ и 0,30 эв для PrH₂.

С. Радаудан

Х. 1962. 7.

11962

CeH₂

CeH₃

Z. Bieganski, B. Stałinski

Cp

25 - 360°K

FTT, 1962, v5, eng. #6.

Bp - 2376 - VIII

K364
Om. 5

CeH₂

13292) LOW-TEMPERATURE HEAT CAPACITY OF
CERIUM DIHYDRIDE. CRYSTAL FIELD EFFECTS.

B. Stalinski and Z. Bieganski (Inst. of Structural Research,
Polish Academy of Sciences, Wroclaw). Bull. Acad. Polon.
Sci., Ser. Sci. Chim., 12; 331-4(1964).

The thermal capacity of CeH₂ was measured in the temperature range from 20 to 360°K. The sample was prepared by absorption of pure hydrogen by 99.9% pure cerium metal. The thermal capacity of cerium dihydride was much higher than that of yttrium dihydride over the whole temperature range. Data are presented in tables and graphs. (M.C.G.)

Cp

NSA

1965 · 19 · 8

CeH₂

B9-2376 - VII

1964
Om. 5

VII Б521. Теплоемкость гидрида церия при низких температурах. Влияние внутрикристаллического поля.

S t a l i n s k i B., B i e g a n s k i Z. Low-temperature heat capacity of cerium dihydride. Crystal field effects. «Bull. Acad. polon. sci. Sér. sci. chim.», 1964, 12, № 5, 331—334 (англ.; рез. русск.)

Измерена теплоемкость CeH₂ (I) при 20° К — 360° К и вычислены его термодинамич. функции. Теплоемкости парамагнитного I значительно выше теплоемкостей гидрида иттрия. Разность теплоемкостей этих гидридов обнаруживает два четких максимума при 65° К и при 310° К. Первый из них связывается с переходами Шоттки между двумя уровнями, вызванными расщеплением основного уровня ²F_{5/2} иона Ce³⁺ в кристаллическом поле.

Резюме авторов

X-1965-11

CeH₂

196
Om. 5

Low temperature heat capacity of cerium dihydride. Crystal field effects. B. Stalinski and Z. Bieganski (Polska Akad. Nauk., Wroclaw). *Bull. Acad. Polon. Sci. Ser. Sci. Chim.* 12(5), 331-4 (1964). The heat capacity of CeH₂ was measured at 20-360°K. by using the arrangement previously described (CA 55, 16033g). The sample was prep'd. by the direct absorption of pure H (obtained by thermal decompn. of Ti hydride) by 99.9% Ce metal. The product was annealed for 6 days at 300°C. The calorimeter was sealed in a dry-box in a carefully purified He atm. to prevent the ignition of the pyrophoric sample. The C_p vs. T plot does not show visible anomalies and, similarly as in the case of other metal hydrides intersects the C_p vs. T curve of the metal. As expected the heat capacity data of CeH₂ are much larger than those of Y dihydride over the whole temp. range. The plot of the excess heat capacity arising from the difference between the corresponding values of Ce and Y dihydrides shows 2 distinct max. (65° and 310°K.). The magnitude of the anomaly at 65°K. suggests the excitation of electrons between energy levels with a degeneracy ratio 1:2 produced by Stark splitting of the ground state of trivalent Ce³⁺ ion is involved. The anomaly at 310°K. is presumably connected with the transitions among the levels arising from the ground state $^2F_{5/2}$ and the excited state $^2F_{7/2}$.

Frank T. Suman, Jr.

C_p
20-360°K

C.A. 1964.
- 61-12 -
13954 ab

BP - 2376 - VIII

CeH₂
2.26

VIII - 1149

1965

G

Low-temperature heat capacity of cerium trihydride. Crystal field effects in rare earth metal hydrides. II. Z. Bieganski, W. Fesenko, and B. Stalinski (Polska Akad. Nauk., Wrocław). *Bull. Acad. Polon. Sci., Ser. Sci. Chim.* 13(3), 227-30(1965) (Eng); cf. CA 61, 13954a. CeH_{2.86} was prep'd. by direct absorption of H by CeH₂, annealing for several days at 300°, and slow cooling to room temp. Its heat capacity, C_p , was measured at 21-361°K. by using a low-temp. adiabatic calorimeter. The C_p-T plot for CeH_{2.86} showed a pronounced anomaly at ≈ 255°K. which could not be ascribed to magnetic origin or to any phase change. The exceptionally sharp difference in the C_p values of CeH_{2.86} and YH₃ at 255°K. might be referred to spin-lattice interaction and also to the thermally activated self-diffusion of H atoms in the Ce compd. G. Aravamudan

C.A. 1965
6389 bc

63.6

19 Б523. Низкотемпературная теплоемкость тригидрида церия. Влияние кристаллического поля в гидридах редкоземельных металлов. II. Bięgański Z., Fesenko W., Staliński B. Low-temperature heat capacity of cerium trihydride. Crystal field effects in rare earth metal hydrides. II. «Bull. Acad. polon. sci. Sér. sci. chim.», 1965, 13, № 3, 227—230 (англ.; рез. русск.)

С помощью описанного ранее калориметра (РЖХим, 1961, 19Б14) в интервале 21—361° К измерена теплоемкость C_p тригидрида церия (I) состава $\text{CeH}_{2,86}$, на основании к-рой вычислены четыре обычных термодинамич. функции I в тв. состоянии до 298,15° К. При т-ре ~225° К обнаружена четкая аномалия теплоемкости, к-рая не связана с магнитным переходом или с изменением кристаллич. структуры (проведены рентгеноструктурные измерения при 200 и 300° К). Построена кривая разности теплоемкости I и YH_3 (ср. часть I, РЖХим, 1965, 11Б521) и кратко обсуждены возможные причины аномальной теплоемкости с учетом влияния кристаллич. по-ля на энергетич. термы иона Ce^{3+} . И. Годнев

X. 1966. 19

VIII - 1149

1965

CeH₃

36355

LOW-TEMPERATURE HEAT CAPACITY OF
CERIUM TRIHYDRIDE. CRYSTAL FIELD EFFECTS IN
RARE EARTH METAL HYDRIDES. [PART] II. Bieganski,
Z.; Fesenko, W.; Stalinski, B. (Inst. of Structural Re-
search, Wroclaw, Poland). Bull. Acad. Polon. Sci., Ser.
Sci. Chim., 13: 227-30(1965).

Crystal field effects on the low-temperature thermodynamic properties of CeH_{2.86} were studied. The heat capacity was measured in the temperature range from 21 to 361°K. The Cp-T plot showed a pronounced anomaly at ~255°K. Magnetic susceptibility measurements in this temperature range did not reveal any anomalous behavior in this temperature range. The fcc structure of the compound was maintained on both sides of the anomaly. (M.C.G.)

NSA. 1965. 19. 19

VI - 7943

1968

CeH₃, LaH₃, BeH₂ (r_e)
LaH₂, NdH₂, YH₂ (ΔG_{298}°) u gp.

Каранельдин, М.Х.,

Ж. неорган. химии, 1965, 10, 1534-1540

М, 10

CA, 1965, 63, n12, 15584 f

VIII 1188

1966

Изучение легкозапасаемых элементов
(суп-ра).

Bos W.G., Gayer K.H.

J. Nucl. Mater., 1966, 18, n1, 1-30

Б, М

CA, 1966, 64, n7, 9185f

VIII 1538

YbH_x

(Δ H *gucc.*)

1966

LaH_x , CeH_x (Δ H *gucc*)

Hardcastle K.J., Warf J.C.,

Inorg.Chem., 1966, 5(10), 1728-35

Rare earth-hydrogen systems

III High-pressure investigations

CA, 1966, 65, N.11, 16481g

M

CCH3 N. J. C. Kerst, W. Z. Hardecaste,
1966

Cu. CCH3

Inorgan. Chem., 1966,
5, 1118, 1726

CeH_x

The thermodynamics of the cerium-hydrogen system. C. E. Lundin (Univ. of Denver, Denver, Colo.). *Trans. Met. Soc. AIME* 236(7), 978-81. The Ce-H system was investigated in the range 573-1023°K., and 10⁻⁴-630 torr, as a function of compn., up to 72 at. % H. Families of isothermal and isopleth curves were plotted from the pressure-temp.-compr. relations. From these curves the solv. relations were detd. for the system. The isopleths are represented anal. by equil. dissociation pressure equations. The relative partial molal enthalpies and entropies of solns. of H in the system were calcd. from the dissociation pressure equations and are tabulated. The integral free energies, enthalpies, and entropies of mixing in the Ce-H system were detd. from the relative partial quantities and are also tabulated. The standard free energy, enthalpy, and entropy of reaction of the dihydride phase at 923°K. are: $\Delta F^\circ = -16.8$ kcal./mole H, $\Delta H^\circ = -48.3$ kcal./mole H, and $\Delta S^\circ = -34$ cal./degree mole H, resp. The equil. dissociation pressure equation in the 2-phase region is: $\log_{10} p(\text{torr}) = -((10,920 \pm 50)/T) + 10.81 \pm 0.06$.

Nat L. Shepard

C.A. 1966.654
5153d

Lugfugh pegko zell. drell. (зеленог. cb. fa) 1968

Мотилы паразиты VIII 4097 866м

Mueller W.M.

Metal Hydrides 1968, 384-440.

Acad. Press. New York.

Rare-earth hydrides.

M, 6

CA, 1970, 72, № 249162

VIII - 3676

1969

CeH, EuH₂, LiH, LiEuH₂
(Tu)

Museeva B.U., Kosov M.E.,
Dokl. AH Cccp, 1969, 189, N3, 553-555

μ, δ

CeH₂

VIII - 3904

1970

(Cp) 80725k State of hydrogen in hydrides of rare earth metals.
Bieganski, Z.; Staliński, B. (Inst. Low Temp. Struct. Res.,
Polska Akad. Nauk, Wrocław, Poland). *Phys. Status Solidi A*
1970, 2(3), K161-K164 (Eng). An anal. is made of the low-
temp. Schottky sp. heats of CeH₂, PrH₂, and NdH₂. The calcd.
and exptl. max. values of the Schottky function, $C_{\text{Sch}}^{\text{max.}}$, is
reported for the case of a 2-level scheme (only the 2 lowest levels
occupied). There is good agreement between calcd. and exptl.
data if the hydridic (H⁻) model is used. GXJN

C.A. 1970/3/16

(+2)

☒

Успехи физических наук (cb-fa) 1970
номер 10

Ward J.C. 8 VIII 3315

Allg. Prakt. Chem., 1970, 21, N₆, 189-93
(Heft.)

Rare earth metal hydrides.

Б.М. Вл 8

(ав. опублена) Ст, 1970, 73, N₁₄, 72588c

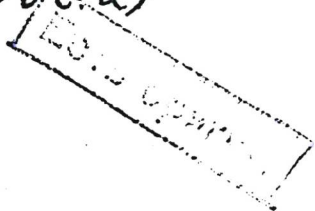
LaH_2 ; $\text{LaH}_{2,03}$; $\frac{\text{CeH}_2}{\text{NdH}_2}$; PrH_2 ; 1972
 $\text{Cp}, \underline{8^\circ}, \text{H}^\circ - \text{Ho}^\circ; \frac{\text{G}^\circ - \text{Ho}^\circ}{T}$

VIII 5228

Biegański Z.

Ber. Kernforschungsanlage
Jülich, 1972, N6, (Sob. 2)
710-26

5



LaH_2 , CeH_2 , PrH_2 , NdH_2 , $\text{LuH}_{2.03}$ 1972

(C_p , S, H_T -Ko, Gr-Ko) VIII 5330

Biegański Z.

Ber. Bunsenges. phys. Chem., 1972, 76, N II,

1183-1187 (AKRIN.)

Low temperature specific heats of the
dihydrides of the light rare earth metals.

DOKLADY, 1973

85795

9

9

Б (φ)

$\text{CeH}_{2,705}$; $\text{CeH}_{2,85}$

ВФ-5787-VIII 1972

У 13 Б585. Температурно-зависимый электронный переход в гидриде церия. Libowitz G. G., Pack J. G., Binnie W. P. Temperature-dependent electronic transition in cerium hydride. «Phys. Rev. B: Solid State», 1972, 6, № 12, 4540—4546 (англ.)

(T_{tr})
Монокристаллы гидрида церия со структурой флюорита в широком интервале содержания водорода исследованы методами рентгеноструктурного и нейтронографич. анализа, а также путем измерения электросопротивления (R), магнитной восприимчивости и термоэ. д. с. Вблизи 245°K зафиксирован резкий скачок т-рной зависимости R . Нейтронографич. исследование дейтерида $\text{CeD}_{2,75}$ при 210°K не обнаружило упорядочения сверхстехиометрич. атомов D , заполняющих часть октаэдрич.

Х. 1973 № 13

междоузлий. Сверхструктура появляется только $<90^\circ$ К, однако ее связь с переходом при 250° К не установлена. Магнитного превращения при этой т-ре также не происходит, однако рентгенографич. исследование показывает, что в $\text{CeH}_{2.75}$ наблюдается переход из кубич. фазы в тетрагональную. При увеличении содержания водорода до $\text{CeH}_{2.96}$ перехода не происходит. Измерения термо-э. д. с. показывают, что с увеличением содержания водорода от $\text{CeH}_{2.705}$ до $\text{CeH}_{2.85}$ происходит переход от металлич. проводимости к полупроводниковой. Предложена модель, связывающая изменение характера проводимости и атомной структуры в зависимости от т-ры и состава с изменением зонной структуры соединения.

Б. Г. Алапин

1972

СеH_{2,7} 7 E488. Температурный электронный переход в гидриде церия. Libowitz G. G., Pack J. G., Binnie W. P. Temperature-dependent electronic transition in cerium hydride. «Phys. Rev. B: Solid State», 1972, 6, № 12, 4540—4546 (англ.)

($\frac{7}{7}z$) Измерено электросопротивление монокристаллов гидрида церия $\text{CeH}_{2,7}$ — $\text{CeH}_{2,8}$. При понижении темп. наблюдался резкий рост сопротивления в районе 250° К и переход от металлического поведения к полупроводниковому, сопровождаемый, как показывают рентгеновские эксперименты, заменой кубич. структуры типа флюорита на тетрагональную. Из измерений магн. восприимчивости и рассеяния нейтронов видно, что нет ни магн. упорядочения, ни упорядочения атомов Н на октаэдрич. узлах. В $\text{CeH}_{2,8}$ примерно 20% октаэдрич. узлов свободны, что соответствует наличию донорных уровней с перекрывающимися волнами Ф-центров и появлению при 250° К энергетич. зоны, аналогичной примесной зоне в полупроводниках. Такая модель подтверждается экспериментами по измерению термо-э. д. с. М. Г.

ф. 1973, № 7

CeH_x

VIII - 5.944

1973

H 118369m Dissociation pressure in a cerium-hydrogen sys-
tem. Fadeev, V. N.; Izhvanov, L. A. (Moscow, USSR).
Izv. Akad. Nauk SSSR, Metal. 1973, (4), 97-8 (Russ). The H
equil. pressure on Ce hydride, its dependence on temp. and
compn., was measured. The Ce hydride compn. was calcd. as
at. ratio (H/Ce) of absorbed H with respect to Ce. Isothermes
of H equil. pressure, at temp. from 600 to 1000°, and with (H/Ce)
ratios from 0.2 to 1.9, were obtained, by which the solv. limit of
H in Ce was calcd.
A. Giacalone

(P)

C.A. 1973, 79 n20

CeH₂ (f.e)

1977

Bardin Y., et al

298-1200 mae II, cup. 154



(conc Ag) I

CeH_{2,7}

отмеч 6236

1978

11 E626. Низкотемпературный фазовый переход в
тригидриде церия. Измерения теплоемкости. Drulis M.,

Biegański Z. Low temperature phase transition in
cerium trihydride. Specific heat measurements. «Phys.
status solidi», 1978, A46, № 1, 39—41 (англ.)

Str

Теплоемкость тригидрида церия состава CeH_{2,7} (решетка ГЦК) измерена в интервале 2—20° К. При $T_N = 2,70 \pm 0,05$ ° К обнаружена λ -аномалия теплоемкости с $C_{\max} = 1,31$ кал·моль⁻¹·К⁻¹. Эта аномалия связывается с переходом из антиферромагнитного в парамагн. состояние. При анализе результатов решеточный и электронный вклады в теплоемкость CeH_{2,7} принимались равными теплоемкости немагнитного изоструктурного гидрида LaH_{2,69}. Магнитная составляющая теплоемкости CeH_{2,7} является наложением аномалии, связанной с магн. упорядочением, и вкладов, обусловленных возбуждением нижних уровней мультиплетной структуры (теплоемкость Шоттки). Изменение энтропии, обусловленное магн. превращением, $\Delta S_m = 1,33$ кал·моль⁻¹·К⁻¹, близко к значению $R\ln 2$.

В. Половов

9.10.1978,
VII

CeH_{2.70}

Comm. 6236 1978

T_{tr}, Cp

88: 162837x Low temperature phase transition in cerium trihydride. Specific heat measurements. Drulis, M.; Bieganski, Z. (Inst. Low Temp. Struct. Res., Pol. Acad. Sci., Wroclaw, Pol.). *Phys. Status Solidi A* 1978, 46(1), K39-K41 (Eng). The sp. heat of fcc. CeH_{2.70} was measured at 2-20 K. A λ -type anomaly was found at 2.70 K; it corresponds to a previously discovered antiferromagnetic transition. The magnetic contribution to the sp. heat is plotted. The magnetic entropy change is 1.33 Gibbs/mol.



C.A. 1978, 22 022

CeH_{2,70}

1978

21 Б834. Низкотемпературный фазовый переход в
тригидриде церия. Измерения теплоемкости. Drui-
lis M., Bięganski Z. Low temperature phase tran-
sition in cerium trihydride. Specific Heat Measurements.
«Phys. status solidi», 1978, A46, № 1, 39—41 (англ.)

Теплоемкость C_p гидрида CeH_{2,70} (I) измерена в ин-
тервале 2—20 К. I получен взаимодействием H₂ из
TiH_x с 99,9% Ce и подвергнут отжигу при 250° в тече-
ние 190 час Рентгенофазовым анализом подтверждена
однофазность I с параметром решетки $a=5,53$ Å. В
области т-ры Нееля $T_N=2,70\pm0,05$ К обнаружена л-
аномалия C_p , максим. значение $C=1,31$ кал/моль·К.
Магнитная составляющая C_p выделена в предположе-
нии эквивалентности регулярной части C_p изоструктур-
ного и немагнитного LaH_{2,69}. Вычислена $\Delta S_{\text{магн.}}=$
 $=1,33$ э. с., что близко к теор. величине $R \ln 2=1,38$ э. с.,
отвечающей дублету иона Ce³⁺. Предполагается, что
переход типа металл — полупроводник, установленный
для CeH₃ при 255 К, связан с изменением симметрии
крист. поля от кубич. до тетрагональной.

Л. А. Резницкий

T_N, C_p, ΔS_{магн.}

2-1978 № 24

1979

LiM₃
CeH₂

Bieganski Z. et al

Z. phys. Chem. (BRD), 1979,
116, 109-115

cp

CeLaM₃; I

CaH_3

1949

Bieganski Z., et al.

Hydrog. Metals. Int. Meet.

cp

Mém. Carl Wagner, Münster,
1949, Prepr. Pap. and Program.
Vol. 2. S. L., S. a., 531-533.

ca. $\text{LaH}_3 - \bar{1}$

отмечено 8392

1976

СеH₃
РгH₃

(C_P)

+1

12 E576. Теплоемкость тригидридов церия и празеодима при низких температурах. Фазовые переходы второго рода и эффекты расщепления в кристаллическом поле. Low-temperature specific heats of cerium and praseodymium trihydrides. Second-order phase transitions crystal field splitting effects. Drulis M., Bielański Z. «Phys. status solidi», 1979, A53, № 1, 277—281 (англ.; рез. нем.)

Методом адиабатич. калориметрии исследована температурная зависимость теплоемкости поликристаллич. образцов тригидридов Се и Рг ($\text{CeH}_{2,70}$, $\text{PrH}_{2,65}$) в интервале т-р $2 \div 260^\circ\text{K}$. На кривых теплоемкости при т-рах 235°K ($\text{CeH}_{2,70}$) и 253°K ($\text{PrH}_{2,65}$) обнаружены особенности λ -типа, связываемые с переходом металл — диэлектрик. На температурной зависимости теплоемкости $\text{CeH}_{2,70}$ при $T = 2,7 \pm 0,05^\circ\text{K}$ обнаружена еще одна особенность λ -типа, обусловленная магн. переходом. Высказывается предположение о том, что фазовые переходы типа металл — диэлектрик, обнаруженные в тригидридах Се и Рг, характерны для тригидридов всех других редкоземельных элементов в области $H/L_p \approx 2,7 \div 2,8$.

В. Гинодман

23 Б836. Низкотемпературная теплоемкость тригидридов церия и празеодима. Фазовые превращения второго рода и эффекты расщепления кристаллического поля. Drulis M., Bięgański Z. Low-temperature specific heats of cerium and praseodymium trihydrides. Second-order phase transitions and crystal field splitting effects. «Phys. status solidi», 1979, A53, № 1, 277—281 (англ.; рез. нем.)

В диапазоне T - p от 2 до 260 К измерена теплоемкость тригидридов церия и празеодима $\text{CeH}_{2,70}$ (I) и $\text{PrH}_{2,55}$ (II). Обнаружены две аномалии λ -типа при 235 и 253 К для I и II соотв. Предположено, что эти аномалии связаны с фазовым превращением типа металл — полупроводник. При $2,70 \pm 0,05$ К для I обнаружена еще одна аномалия λ -типа, связанная с магнитным превращением. Сделан вывод о наличии во всех тригидридах РЗЭ фазовых переходов, аналогичных по характеру высокотропным превращениям в I и II при $H/RZ = 2,7 - 2,8$. На основе метода Шоттки показано, что при переходе от тригидридов к дигидридам происходит понижение симметрии крист. поля, а отсутствие магнитного упорядочения в II говорит о наличии синглетного основного состояния ионов Pr^{3+} .

Г. Л. Апарников

• $\text{CeH}_{2,7}$
• $\text{PrH}_{2,7}$ $\text{CeH}_{2,70}$
 (C_p) ; (T_{tr}) ; χ_{VIII}
• $\textcircled{+}/\textcircled{\times}$

х: 1649123

OMNIBUS 8392

1979

CeH₃

PrH₃

C_p ; T_{cr}

91: 129825f Low-temperature specific heats of cerium and praseodymium trihydrides. Second-order phase transitions and crystal field splitting effects. Drulis, M.; Bieganski, Z. (Inst. Low Temp. Struct. Res., Pol. Acad. Sci., Wroclaw, Pol.). *Phys. Status Solidi A* 1979, 53(1), 277-81 (Eng). The low temp. heat capacities of Ce and Pr trihydrides, CeH_{2.70} and PrH_{2.65} were measured at 2-260 K. Two λ -type anomalies were found for both hydrides, at 235 and 253 K, resp. These anomalies are most probable due to temp.-dependent metal to \approx semiconductor transitions. Addnl., a λ -type heat capacity anomaly due to a magnetic transition is found for CeH_{2.70} at (2.70 \pm 0.05) K. The Schottky sp. heat anal. is consistent with the existence of a singlet crystal field ground state for Pr³⁺ ion and this fact explains the absence of magnetic ordering in praseodymium trihydride.

7078

J

XIII/1

C.A.1979 GLW/16

1980

$\text{CeH}_{2.7}$

З Е619. Исследование фазового перехода в гидриде церия при 250°K методом комбинационного рассеяния. Raman scattering spectra of TMA ZnCl_4 . Von A. M., Almäigac R., Nassig P., Venoit C., Ribet J. L. «Phys. status solidi», 1980, B101, № 1, K87—K91 (англ.)

С целью выяснения природы фазового перехода в гидриде церия экспериментально найдена температурная зависимость спектров комб. рас. (СКР) для $\text{CeH}_{\approx 2.7}$ ($\text{CeH}_{2.72 \pm 0.03}$). Выбор метода обусловлен чувствительностью СКР к структурным превращениям. Приведены неполяризованные СКР, из которых видно существенное изменение формы спектров при т-рах, близких к 247°K : выше этой т-ры в СКР наблюдается лишь один заметный пик, в то время как ниже т-ры

Ф. 1981 № 3

перехода существенно увеличивается интенсивность высокоэнергетич. пика. Приведена температурная зависимость сдвигов частот, соответствующих пикам СКР. Ранее были предложены два возможных объяснения механизма исследуемого перехода: а) переход металл—полупроводник и б) переход типа порядок—беспорядок промежуточных атомов водорода. Полученные данные свидетельствуют в пользу предположения (б), поскольку наблюдавшиеся изменения СКР не могут быть объяснены без учета упорядочения водорода в кристалле.

И. О. Майер

CeH_{2,72±0,03}

6 Б940. Изучение методом комбинационного ^{рас-}
сения фазового перехода в гидриде церия при 250 К.
Fujimori A., Ishii M., Tsuda N. Raman study of
the 250 K phase transition in cerium hydride. «Phys.
status solidi», 1980, B101, № 1, K17—K19 (англ.)

В интервале т-р 77—270 К изучена т-рная зависи-
мость спектров КР образцов CeH_{2,72±0,03}. При т-ре
~247 К обнаружено резкое изменение наблюдаемых
спектров. На основе анализа лит. данных и полученных
результатов сделан вывод, что наблюдаемый фазовый
переход обусловлен тетрагон. искажением в результа-
те перехода типа порядок — беспорядок в подрешетке
внедренных атомов водорода, а не является следстви-
ем перехода типа металл — полупроводник, как счи-
талось ранее.

Б. А. Ступников

д. 1981 № 6

$C_6H_{2,9}$ Bischof Von R.E.,
Kaldus E. 1982

reprint Helv. phys. acta, 1982,
55, N3, 348 - 350.

(cu. $P_2H_{2,7}$;)

1982

СеD_{2,26}

СеD_{2,43}

Мережин.

11 Е653. Упорядочение водорода в ГЦК-твердом растворе на примере гидридов редкоземельных металлов. Федотов В. К., Федотов В. Г., Кост М. Е., Понятовский Е. Г. «Физ. тверд. тела», 1982, 24, № 7, 2201—2208

В результате нейтронографич. исследования упорядоченных фаз CeD_{2,26} и CeD_{2,43} и анализа известных эксперим. данных установлено, что в системе MeD_{2+x} (Me = La, Ce, Pr; 0 < x < 0,5) в интервале т-р от комнатной до 90 К существуют два типа сверхструктур Me₄X и Me₂X (пр. гр. $I4/mmm$ и $I4_1md$ соответственно), устойчивых к образованию антифазных доменов. Общими свойствами сверхструктур являются тетраг. симметрия элементарной ячейки ($a=a_0$ и $c \approx 2a_0$), существование статич. волны смещений атомов из идеальных позиций исходной ГЦК-решетки и образование вакансий в тетраэдрической водородной подрешетке (~3%). Библ. 16.

Резюме

сбр 1982, 18, N 11.

Сер

1982

20 Б823. Фазовые соотношения в системах церий—водород и церий—дейтерий. Кнаппе Peter, Müllег Horst. Phasenverhältnisse in den Systemen Cer-Wasserstoff und Cer-Deuterium. «Z. anorg. und allg. Chem.», 1982, 487, № 4, 63—74 (нем.; рез. англ.)

С помощью рентгенографии изучены фазовые соотношения в системах Ce—H₂ и Ce—D₂ в области составов гидрида и дейтерида церия CeH_x и CeD_x, где 1,8 < x < 3. Использованы Ce 99,9%, H₂ 99,999% и D₂ 99,7% чистоты. Представлена схема установки для получения гидридов и дейтеридов церия. Содержание водорода в гидридах Ce определяли 3 методами: 1) гравиметрич.; 2) разл. гидрида к-той и измерением объема выделившегося водорода; 3) измерением кол-ва абсорбированного церием водорода. Установлено, что в отличие от лит. данных, в области 1,3 < x < 2,33 параметр кубич. решетки гидрида уменьшается в соответ-

(3) 18

X. 1982, 19, № 20 Сер, Ce₃H₇, Ce₃D₇

ствии с ур-нием: $a, \text{пм} = 574,5 - 8,88x$. При $x > 2,33$ константа решетки с увеличением x остается постоянной. Аналогичное соотношение найдено для дейтерида: $a, \text{пм} = 572,5 - 8,54x$ ($1,91 < x < 2,32$). Обнаружено наличие новых фаз Ce₃H₇ и Ce₃D₇ с тетрагон. структурой.

Л. Г. Титов

2, 1.

1983

Серх

СДиР

Ттг

5 Б2275. Магнитные свойства гидридов церия при низких температурах. Magnetic properties of cerium hydrides at low temperatures. Osterwaldер J., Ott H. R., Schlapbach L., Schefer J., Fischer P. «J. Less—Common Metals», 1983, 94, № 1: Proc. 6th Rare Earth Res. Conf., Tallahassee, Fla, Apr. 18—21, 1983. Pt 3, 129—137 (англ.)

Методами измерения магнитной восприимчивости на постоянном и переменном токе, сильнополевой намагниченности и нейтронографии исследованы магнитные св-ва гидридов церия CeH_x и CeD_x с $1.8 < x < 3.0$. Установлено, что при $x=1.93$ магнитное упорядочение не наблюдается вплоть до 1,3 К. Для образцов с $x=2.43$ на кривых $\chi(T)$ при 4,2 К имеется максимум, обусловленный ферромагнитным упорядочением, а при $x=3.0$ происходит антиферромагнитное упорядочение, причем, $T_N=1.9$ К. Согласно нейтронографич. данным, образцы с $x=3.0$ имеют кубич. структуру, причем атомы Н(Д) занимают все тетраэдрич. позиции 8с и статистически

Х.1984, 19, N5

часть позиций 32f. При увеличении x магнитный момент ионов Ce изменяется немонотонно, что, по крайней мере частично, объясняется эффектами крист. поля для основного состояния ионов Ce Г₈. Отмечено, что ферромагнетизм проводящего гидрида с $x=2,43$ хорошо объясняется в рамках механизма Рудермана — Киттеля — Касуи—Иосиды. При увеличении x до 3,0 гидрид становится диэлектриком и этот механизм неэффективен, что объясняет антиферромагнетизм гидрида с $x=3,0$.

Ю. В. Ракитин

шет
Ю

Ce.D_x

1984

$x=2, 56-2, 97$ Alikhanov R.A.,
Buzin V.I., Kilikov
N.I., Kost M.E., et al

T_{tr} ; J. Less. - Common Metals, 1984,
101: Int. Conf., Hydrogen Metals
Wroclaw, Sept. 20-23, 1983, 291-
-297.

(Cer. ZAD_{2,97}; T)

СиХх

1984

) 11 E605. Фазовые превращения в нестехиометрическом гидриде церия. Phase transitions in non-stoichiometric cerium hydrides. Bashkin I. O., Kost M. E., Ропутовский Е. Г. «Phys. status solidi», 1984, A83, № 2, 461—465 (англ.; рез. рус.)

Методом ДТА в интервале от 100 до 470 К изучена $T-x$ -диаграмма системы Ce—H ($2,05 \leq x \leq 2,82$). Во всех образцах обнаружены фазовые переходы. На $T-x$ -диаграмме построены некоторые линии фазовых переходов. Переходы при $x=2,5$ и T от 217 до 373 К связываются с упорядочением в подрешетке октаэдрич. водорода. В интервале $2,41 \leq x \leq 2,62$ отмечено существование переходов при 290 К. Обнаружено, что переходы при $T \approx 245$ К наблюдаются, начиная с $x=2,52$. Гидриды с $x \approx 2,8$ имеют несколько переходов в интервале от 200 до 300 К.

Резюме

φ. 1984, 18, N 11

Серх

1984

23 Б3203. Фазовые переходы в нестехиометрических гидридах церия. Phase transitions in non-stoichiometric cerium hydrides. Bashkin I. O., Kost M. E., Ponyatovskii E. G. «Phys. status solidi», 1984, A83, № 2, 461—465 (англ.; рез. рус.)

В интервале т-р 100—470 К методом ДТА (скорости нагрева и охлаждения от 5 до 15 К/мин) исследованы образцы системы CeH_x . В диапазоне конц-ий $2,05 < x < 2,34$ обнаружен один фазовый переход с возрастием T_p от 217 (при $x=2,05$) до 370 К (при $x=2,34$). Этот переход связан с упорядочением в подрешетке октаэдрич. водорода (переход $\gamma-\gamma_1$), и происходит в интервалах т-р от 30 до 60 К с гистерезисом 10 К. Для образцов с $2,41 < x < 2,62$ имеется пик при 290 К, к-рый приписывается р-ции разложения фазы γ_2 на состав $(\gamma+\gamma_1)$. Начиная с $x=2,52$ в области между 242 и 254 К наблюдается переход, представляющий собой суперпозицию двух или трех эффектов. Образцы с $2,78 < x < 2,82$ имеют несколько переходов, в районе 203, 250 и 290 К. Предв. результаты для гидридов CeD_x и LaH_x указывают, что их $T-x$ диаграммы имеют схожий характер.

В. А. Ступников

Х. 1984, 19,
N 23

T_{c2}

CeH_x

1984

J 101: 178439s Phase transitions in nonstoichiometric cerium hydrides. Bashkin, I. O.; Kost, M. E.; Pomyatovskii, E. G. (Inst. Solid State Phys., Chernogolovka, USSR). *Phys. Status Solidi A* 1984, 83(2), 461-5 (Eng). The T - x diagram of the Ce-H system was studied at 100-470 K ($2.05 \leq x \leq 2.82$). Phase transitions are found in all the hydrides studied. Some phase transition lines are plotted in the T - x diagram. Transitions at $x \leq 2.5$ and $T = 217$ to 373 K are ascribed to H ordering on octahedral sites. Phase transitions at 290 K are fixed in hydrides with $2.41 \leq x \leq 2.62$. Phase transitions at ~ 245 K are obsd. at $x = 2.52$ and at higher H contents. Hydrides of the compn. about $x = 2.8$ exhibit several transitions between 200 and 300 K.

(T_{tr})

C.A.1984, 101, n20.

СиХх

1984

12 Б3107 Д. Термодинамические исследования гидридов редкоземельных элементов. Thermodynamische Untersuchungen an Hydriden der Seltenen Erden. Bischof-Fürggä R ichard Ernst. Abh. Dokt. Naturwiss. Eidgenoess. Techn. Hochsch. Zuerich, 1984. 159 S., ill. (нем.; рез. англ.)

По изотермам абсорбции (860—1150° С) с использованием структурного, хим. и масс-спектрометрич. анализа построены фазовые диаграммы $\text{Ln}-\text{H}_2$ ($\text{Ln}=\text{Ce}, \text{La}, \text{Pr}, \text{Eu}, \text{Yb}$). В системах с Ce, La и Pr до 1150° С, не установлено крит. точки разрыва смешиваемости $\text{Ln}+\text{LnH}_2$, и эти диаграммы рассматривались как перитектич. Они характеризуются заметной стабилизацией металлич. решетки с ростом р-рения H_2 . Это ведет, напр., к росту т. пл. на ~300° С и к конц-ии р-ренного H_2 в ОЦК-La до 45 ат.% Н. На основе полученных данных впервые выращены монокрист. $\text{LaH}_{2,98}$ и $\text{PrH}_{2,70}$ в сравнении с $\text{CeH}_{2,95}$. Системы с Eu и Yb характеризу-

kp)

(20/4)

Х. 1986, 19, № 12

LaHx , PrHx , EuHx , YbHx

ются высокими парц. давлениями H_2 (до 100 бар), что ограничило обл. исследованных т-р $300^\circ C$. По технич. причинам исследованы те обл. $P-T$ -диаграмм, где скорость абсорбции определяется не термодинамич., а кинетич. факторами. Поэтому получены лишь нек-рые качеств. х-ки. В частности, в процессе эксперим. наблюдений во время снятия изотерм наблюдался иной механизм роста кристаллов YbH_2 и EuH_2 (сублимация в Мо-тигле). Это привело к получению ранее предсказанного ферромагнитного полупроводника EuH_2 .

А. С. Гузей

стас
зую

Гидриды Р

1984

) 6 Е353 Д. Термодинамические исследования гидридов редкоземельных элементов. Thermodynamische Untersuchungen an Hydriden der Seltenen Erden. Bischoff-Fürgger Richard Ernst. Abh. Dokt. Naturwiss. Eidgenoess. Techn. Hochsch. Zuerich, 1984. 159 S., ill. (нем.; рез. англ.)

Рассмотрена аппаратура для $P-T-X$ -исследований при высоких давлениях. Приведены результаты изучения систем Ce, La, Pr, Yb, Eu—H; фазовые диаграммы, кривые давления паров. Библ. 65. Л. П. Ф.

(ту)⊗

гидриды La
— : — Pr
— : — Yb
— : — Eu

ф. 1986, 18; N6

C-H

(On. 20642) 1984

102: 85145y The phase equilibria of cerium-hydrogen and samarium-hydrogen systems. Ohki, Chihiro; Tada, Masayoshi; Huang, Yen C.; Uchida, Hirohisa; Uchida, Haruhisa (Fac. Eng., Tokai Univ., Kanagawa, Japan). *J. Less-Common Met.* 1984, 103(1), 103-10 (Eng). The phase equil. of the Ce-H and Sm-H systems were investigated. Hydrogen equil. pressures were measured in the range $1 \times 10^4 - 5 \times 10^6$ Pa as functions of H concn. for $[H]/[M]$ 2.2-2.9 and 423-823 K. The isotherms for both systems are presented together with the isotherms previously measured for the dihydrides. The existence of Ce trihydride was not confirmed. The heat of soln. of H in Ce dihydride shows a sudden change at $[H]/[Ce] = 2.7$, which seems to indicate a change in the chem. bonding state of the dissolved H atoms. The isotherms of the Sm-H system indicate the existence of the Sm trihydride phase. A large hysteresis was found in the measured isotherms. The value of the heat of formation for the trihydride is about half of that found for dihydride.

(A)



Sm

-H

Sm H₃ (sfH)

c.A. 1985, 102, N10

Сергей

1984

10 E645. Фазовая диаграмма системы Ce—H₂. The phase diagram of the Ce—H₂ system. Tellefseп M., Bischof R., and Kaldis E. «Thermochim. acta», 1985, 85: Selec. Top. Appl. Chem. Thermodyn.: Thermo-chem. Prop. Substances, Mater. and Biol. Syst. Proc. 3 Eur. Symp. Therm. Anal. and Calorimetry, Interlaken, 9—15 Sept., 1984, 127—130 (англ.)

Экспериментально изучена $P-T-x$ диаграмма Ce—H₂ для интервала т-р 820—1150° С и давлений водорода менее 6 бар. Положение фазовых границ определялось по изменению наклона изотерм $\Delta \log P(H_2) - \Delta \log x_{H_2}$. Ранее предлагались два варианта диаграммы: 1) с перитектич. реакцией, 2) с куполом распада твердого раствора и эвтектоидным превращением. Подтвержден перитектич. тип диаграммы Ce—H₂, однако обнаружены существенные отличия в положении фазовых границ. Показано, что т-ра перитектики 1025° С, а т-ра плавле-

III, №;

оф. 1985, 18, № 10

ния Ce значительно возрастает при увеличении содержания водорода (до ~40%). При медленном охлаждении насыщенного водородом расплава выращены монокристаллы $\text{CeH}_{2.95}$ (т-ра нагрева выше перитектической (1030°C), давление водорода 4 бара).

И. А. Корсунская

СНХ

Дн. 22819

1985

19 Б3088. Фазовая диаграмма системы Ce—H₂ и твердые растворы CeH₂—CeH₃. The phase diagram of the Ce—H₂ system and the CeH₂—CeH₃ solid solutions. Telleszen M., Kaldis E., Jilek E. «J. Less—Common Metals», 1985, 110, № 1—2: Int. Rare Earth Conf., Zürich, March 4—8, 1985, Pt 1, 107—117 (англ.)

С помощью кварцевого реактора с постоянным калиброванным объемом определены изотермы «давл.—состав» в системе Ce—H₂. Образцы гидридов изучены рентгенографически и волюметрически. Представлена фазовая диаграмма системы Ce—H₂ в интервале 820—1150° С. Подтверждены лит. данные о наличии перитектики в системе, однако тра перитектики выше (~1025° С). Цвет образующихся гидридов церия изменяется от металлич. зел. (CeH₂) до кор.-бронзового, сер., блестящего черн. цвета с увеличением конц-ии водорода в гидриде. Черн. цвет появляется только у образцов,

X. 1986, 19, № 9

полученных при $T > 800^\circ C$. Зависимость параметра решетки от состава имеет сложный характер, указывая на наличие четырех фазовых полей. Параметры решетки гексагон. фазы $CeH_{2.53}$: a 5,543; c 5,561 Å. Результаты м. б. объяснены на основе противодействующих сил притяжения и отталкивания. До соотношения $H/Cl \approx 2,61$, преобладают силы притяжения и межатомные расстояния уменьшаются. С ростом конц-ии водорода в октаэдрич. позициях силы отталкивания становятся соизмеримыми с силами притяжения, и поэтому параметр решетки незначительно зависит от состава. Л. Г. Титов

$\text{CeH}_2 - \text{CeH}_3$

DM 22819

1985

103: 167059y The phase diagram of the cerium-hydrogen system and the $\text{CeH}_2\text{-CeH}_3$ solid solutions. Tellefsen, M.; Kaldis, E.; Jilek, E. (Lab. Festkoerperphys., ETH Hoenggerberg, CH-8093 Zurich, Switz.). *J. Less-Common Met.* 1985, 110, 107-17 (Eng). The pressure-temp.-comprn., P - T - x , phase diagram of the Ce-H system was constructed from vapor pressure measurements at 820-1150°. The originally proposed peritectic diagram of Libowitz and Pack (1969) suffered from a lack of supporting data. The peritectic is confirmed in the new diagram. However, T_{per} is higher at $\approx 1025^\circ$ and the remaining T - x phase boundaries follow different courses from those proposed previously, including an inflection at 970°, so far unknown. The color of the hydride samples changes from dark metallic green (CeH_2) to brownish-bronze, gray, and shiny-black (CeH_3) as the H concn. increases, probably due to a shift of the plasma resonance of the free carriers. The black color appears only for samples grown at $T > 800^\circ$. Room-temp. cell-parameter (a) measurements on CeH_x in the range $2 \leq x \leq 3$ show a complex, nonlinear behavior in the a vs. x curve, indicating the existence of 4 different comprn. fields. The boundaries of the color changes overlap with characteristic fields of the lattice consts. In the comprn. field $2.45 < x < 2.60$, the only point measured up to now ($\text{CeH}_{2.53}$) shows a tetragonal distortion similar to that found in the lit. for $\text{CeH}_{2.33}$ and $\text{CeD}_{2.29}$. Despite these results, no addnl. plateaux are found in the P - x curves examd. in the range 500-500°. The results are interpreted by the onset of repulsive forces at higher H content as the octahedral interstices become filled.

Specimen
Growth details

C.A. 1985, 103,
N 250

CeH_x

1985

12 E533. Фазовая диаграмма системы Ce—H₂. The phase diagram of the Ce—H₂ system. Tellefsen M., Bischof R., Kaldis E. «Thermochim. acta», 1985, 85: Selec. Top. Appl. Chem. Thermodyn.: Thermochem. Prop. Substances, Mater. and Biol. Syst. Proc. 3 Eur. Symp. Therm. Anal. and Calorimetry, Interlaken, 9—15 Sept., 1984, 127—130 (англ.)

оф. 1985, 18, N 12

Fe

1985

CeH₃
CeH₂

Kp;

12 E532. Твердые растворы с металлическими (CeH_2) и полупроводниковыми (CeH_3) свойствами и фазовая диаграмма Ce—H₂. The metal (CeH_2) — semiconductor (CeH_3) solid solutions and the Ce—H₂ phase diagram. Tellefsen M., Kaldus E., Jilek E. «Helv. phys. acta», 1985, 58, № 5, 801—804 (англ.)

Путем измерения равновесных давлений H при его взаимодействии с Ce исследована p — T — x -фазовая диаграмма Ce—H₂ в интервале т-р 820—1150° С. В пределах области гомогенности гидрида CeH_x изучены структурные характеристики образцов, отвечающих по составу интервалу CeH₂—CeH₃. Обнаружены неизвестные ранее особенности концентрационной зависимости параметра решетки гидрида. Вариации цвета препаратов и наклона кривой a - $F(x)$ свидетельствуют о существовании в области фазового поля CeH_x четырех зон с различными физич. свойствами при следующих величинах атомного отношения $x = H/Ce$: 2,00—2,45; 2,45—2,61; 2,61—2,90 и 2,90—3,00.

С. Голуб

cf. 1985, 18, N 12

СеH₃
СеH₂

1985

24 Б3136. Твердые растворы металл (СеH₂) — полупроводник (СеH₃) и фазовая диаграмма Се—H₂. The metal (СеH₂) — semiconductor (СеH₃) solid solutions and the Се—H₂ phase diagram. Tellefsen M., Kaldis E., Jilek E. «Helv. phys. acta», 1985, 58, № 5, 801—804 (англ.)

На основе измерений давл. над системой Се—H₂ в обл. т-р 820—1150° С представлена уточненная фазовая диаграмма системы Се—H₂ в обл. 700—1200° С и 0—80 ат. % Н. Образцы гидридов изучены с помощью рентгенографии, анализ на водород проводили волюметрич. методом. Подтвержден перитектич. характер диаграммы, но т-ра перитектики несколько выше лит. значений и составляет 1025° С. Обнаружен новый фазовый переход при ~970° С, природа к-рого не установлена. Изменение цвета полученных тв. р-ров СеH₂—СеH₃ и наклон кривой зависимости параметра решетки *a* от состава указывают на наличие четырех полей фаз с различными физ. свойствами.

Л. Г. Титов

X. 1985, 19, N 24

Рефл

1984

$2,1 \leq x \leq 2,92$

16 Б3156. Механизмы спин-решеточной релаксации протона и переход металл-диэлектрик в гидридах церия. Proton spin-lattice relaxation mechanisms and the metal-insulator transition in cerium hydrides. Zamir D., Barnes R. G., Salibi N., Cotts R. M., Phua T.-T., Torgeson D. R., Peterson D. T. «Phys. Rev. B: Condens. Matter», 1984, 29, № 1, 61—70 (англ.)

В диапазоне т-р 100—375 К на частотах 40 и 10 МГц определены т-рные и концентрац. зависимости скоростей спин-решеточных релаксаций протонов (методом

Х.1984, 19, №16

ЯМР) в CeH_x ($2,1 \leq x \leq 2,92$, содержание водорода определялось из $P-V-T$ -соотношений, размер частиц образца ≤ 100 мкм). Кроме того, исследовался также ряд смешанных гидридов системы $\text{LaH}_{2,92}-\text{CeH}_{2,85}$. Доминантным механизмом релаксации является прямое магн. диполярное взаимодействие между системой протонного спина и электронным магн. моментом ионов Ce^{3+} . В диапазоне конц-ий $2,75 < x < 2,85$ в CeH_x наблюдался фазовый переход типа металл—полупроводник, что подтверждается измерениями электропроводности. Однако, ни в одном из образцов этот переход не вызывался путем изменения только т-ры. Результаты согласуются с моделью перехода Мотта, в к-рой донорами электронов являются вакансии по водороду. Выше крит. конц-ии вакансий, определяемой как $N_c = 0,25/a_H)^3$, где $a_H = 1,5 \cdot 10^{-8}$ см, образцы обладают металлич. проводимостью.

В. А. Ступников

1984

Серх

12 Б3080. Фазовые равновесия в системах Ce—H и Sm—H. The phase equilibria of Ce—H and Sm—H systems. Ohki Chihiro, Tada Masayoshi, Huang Yen C., Uchida Hirohisa, Uchida Naguhisa. «J. Less-Common Metals», 1984, 103, № 1: Int. Symp. Prop. and Appl. Metal Hydrides IV, Eilat, Apr. 9—13, 1984, 103—110 (англ.)

С помощью прибора типа Сивертса измерены величины «давл. — т-ра — состав» в системах Ce—H и Sm—H в интервале давл. H_2 $1 \cdot 10^4$ — $5 \cdot 10^6$ Па, т-рах 423—823 К и соотношениях $[H]/[M] = 2,2$ — $2,9$. Чистота исходных металлов составляла 99,9%. Представлены изотермы для обеих систем при указанных т-рах и при 923—1053 К (по лит. данным). Не подтверждено образования тригидрида Ce. Ce и Sm образуют дигидриды, причем Ce абсорбирует дополнительное кол-во H_2 при соотношении $[H]/[Ce] = 1,8$, и церий становится насыщенным по водороду при $[H]/[Ce] = 3,0$. Т-рная зависимость р-рения указывает на увеличение отриц. значений $\Delta H_{\text{р-рения}}$ и $\Delta S_{\text{р-рения}}$ с увеличением конц-ии H_2 до $[H]/[Ce] = 2,7$. Значения энталпии и энтропии

КР,

 ΔH_f , ΔS_f ;

(+) X

x. 1985, 19, N/2

SmHx

р-рения затм резко уменьшаются при соотношениях $[H]/[Ce]$ между 2,7 и 3,0, что указывает на изменение в характере хим. связи в гидриде. В системе Sm—Н существуют два плато при соотношениях $[H]/[Sm] = 2,3$ и $2,8$, причем насыщение водородом происходит при $[H]/[Sm]$ при низких т-рах, что указывает на образование фазы тригидрида. Величины $\Delta H_{обр.}$ и $\Delta S_{обр.}$ для SmH_3 равны $-74,6 \pm 3,7$ кДж/моль H_2 и $-136,2 \pm 6,8$ Дж/моль $H_2 \cdot$ град К (процесс абсорбции), и $-79,6 \pm 4,0$ кДж/моль H_2 и $-133,2 \pm 6,7$ Дж/моль $H \cdot$ град К (процесс десорбции).

Л. Г. Титов

Се Н_х

дн. 21409

1984

19 Б3127. Фазовая диаграмма системы Ce—H₂. The phase diagram of the Ce—H₂ system. Tellefsen M., Bischof R., Kaldis E. «Thermochim. acta», 1985, 85: Selec. Top. Appl. Chem. Thermodyn: Thermochem. Prop. Substances, Mater. and Biol. Syst. Proc. 3rd Eur. Symp. Therm. Anal. and Calorimetry, Interlaken, 9—15 Sept., 1984, 127—130 (англ.)

С помощью определения зависимости давл. H₂ от состава в изотермич. условиях изучена система Ce—H₂; построена диаграмма состояния для области составов 0—80 ат.% H и т-р 820—1150° С. Подтверждено, что т. пл. δ-Се растет от 795 до 1025° С с ростом конц-ии H в тв. р-ре, и при 1025° С протекает перитектич. р-ция тв. р-р δ-Се → Ce(ж) + CeH_x. С повышением т-ры выше 1025° С начальная конц-ия H в CeH_x уменьшается. Методом медленного охлаждения расплава с ~1030° С при давл. H₂ 4 бар выращен монокристалл CeH_{2,95}.

Л. В. Шведов

Х. 1985, 19 N 19.

СиХ

1985

6 Е694. Фазовая диаграмма системы Ce—H₂ и твердые растворы CeH₂—CeH₃. The phase diagram of the Ce—H₂ system and the CeH₂—CeH₃ solid solutions. Tellefsen M., Kaldis E., Jilek E. «J. Less—Common Metals», 1985, 110, № 1—2: Int. Rare Earth Conf., Zürich, March 4—8, 1985, Pt 1, 107—117 (англ.)

Методом измерения давления пара построена P — T — x -фазовая диаграмма Ce—H₂ в интервале т-р $820 \leq T \leq 1150^\circ\text{C}$. Подтверждено существование перитектики, но при более высокой т-ре, чем было установлено ранее ($T = 1025^\circ\text{C}$). Обнаружены перегибы на фазовых границах при 970°C , свидетельствующие о наличии неизвестных ранее фазовых переходах. Установлено изменение цвета образцов гидридов по мере возрастания конц-ии водорода. Проведены измерения параметра решетки (a) CeH _{x} для $2 \leq x \leq 3$ при комн. т-ре. Зависимость a от x имеет нелинейный характер, при этом выделяются 4 характерных участка, в основном совпадающие с концентрационными интервалами цветовых изменений образцов.

И. А. К.

$K_p, T_{tr};$
сф. 1986, 18, N6

CeH_x

Om. 21409

1985

103: 28055r The phase diagram of the cerium-hydrogen system.
Tellefsen, M.; Bischof, R.; Kaldus, E. (Lab. Festkoerperphys., ETH,
8093 Zurich, Switz.). *Thermochim. Acta* 1985, 85, 127-30 (Eng).
Pressure-temp.-comprn. (p - T - x) measurements were performed at
820-1150° and the Ce-H phase diagram was constructed. The
location of the phase boundaries were detd. by applying a const.
slope criterion $\Delta \log p(H)/\Delta \log x_H$ to the p - x curves. The results
confirm the peritectic behavior, but show appreciable differences in
the position of the phase boundaries. The peritectic T occurs at
1025° and reflects a substantial increase in the m.p. of Ce (795°) with
increasing dissoln. of H ($\leq 40\%$). Single crystals of CeH_{2.95} were
grown by pptn. from a H-satd. melt above the peritectic point.
Optical reemission measurements of CeH_{2.95} show an absorption ed.
corresponding to a band gap of 1.54 eV.

(p - T - x)
pay. group.

C. A. 1985, 103, N.Y.

Лит

1986

21 Б3075. Калориметрические измерения взаимодействия водорода с пленками лантанидов при комнатной температуре. Calorimetric measurement of the interaction of hydrogen with films of lanthanides at room temperature. Boeva O. A., Zhavoronkova K. N., Smutek M., Cerný S. «J. Less-Common Metals», 1986, 118, № 1, 1—6 (англ.)

Энталпии р-ций взаимодействия вакуумно-напыленных пленок Ce, Dy, Er, Tm и Lu с H_2 при 295 К измерены калориметрически. Пленки имели толщину $\sim 100 \text{ \AA}$, Пв 50—80 cm^2 . Теплоты образования дигидридов кДж/моль составили для Ce $192,3 \pm 0,4$, Dy $204,6 \pm 0,2$, Er $204,1 \pm 0,4$, Tm $193,5 \pm 0,8$ и Lu $179,9 \pm 1,6$. Эти данные несколько ниже, чем вычисленные из изотерм. ад-

84 18

Х. 1986, 19, № 21

Дy H_2 , Er H_2 , Tm H_2 ,
Lu H_2

сорбции при 750 К. Расхождение вызвано как экстраполяцией ур-ния Аррениуса на комнатную т-ру, так и возможными энергетич. различиями в $\Delta_{sol}H(H_2)$ в пленках и $\Delta_fH(MH_2\text{cr})$. Л. А. Резницкий

Ce-H

1987

Chernikov A. S.,

Savin V. I., et al.

mesoogres. Y. Less-Common
и пугац. Met. 1987, 130, 441-52.
cb-6a

(CeP. Y; ~~T~~)

$Ce(H_2O)_n$

[OM-27884.a"] 1987

Xia Y-Q.,

ΔH_{uupram.}

Inorg. Chim. Acta,
1987, 133, N2, 331-
-336.

Серх

1987

17 Б3088. Фазовые диаграммы гидридов некоторых редкоземельных элементов. Phase diagrams of some rare earth hydrides. Kaldis E., Tellefsen M., Bischof R. «J. Less-Common Metals», 1987, 130, 542—543 (англ.)

С использованием чувствит. кремниевого преобразователя давл. изучены P — X -сечения P — T — X -фазовых диаграмм систем $\text{Ce}-\text{H}_2$, $\text{La}-\text{H}_2$ и $\text{Pr}-\text{H}_2$. Показано, что вопреки лит. данным, в двухфазной обл. между M и $M\text{H}_{2-x}$ ($M = \text{РЗЭ}$) нет крит. точки, но имеются структурные фазовые переходы между объемноцентр. кубич. высокот-рной решеткой M и гранецентр. кубич. решеткой $M\text{H}_{2-x}$. В системах $\text{Ce}-\text{H}_2$ и $\text{Pr}-\text{H}_2$ фазовые превращения осуществляются при 55°C и $\sim 140^\circ\text{C}$ ниже перитектич. температуры.

Л. Г. Титов

(42)

Х. 1987, 19, N 17

Latx, PrHx

СеH_x

1987

✓ 10 E800. Фазовые соотношения и фазовые переходы в области гомогенности CeH₂—CeH₅ высокой чистоты. Phase relationships and phase transitions in the homogeneity range of pure CeH₂—CeH₅. Kaldis E., Bogoich E., Tellefsen M. «J. Less-Common Metals», 1987, 129, № 1—2, 57—64 (англ.)

Методами дилатометрии и измерений параметров решетки исследована система CeH₂—CeH₅. Как исходный Се, так и газовая атмосфера отличались высокой степенью чистоты. Обнаружены неизвестные до сих пор тетрагр. искажения структуры в широком интервале конц-ий ($2,28 < [H]/[Ce] < 2,65$ для комн. т-ры). Установлено наличие области существования тетрагональной и кубич. фаз при высокой конц-ии Н. Предполагается, что многие особенности системы Се—Н, отмечавшиеся в литературе, связаны с обнаруженным в данной работе структурным состоянием этих сплавов.

И. А. Корсунская

оф. 1987, 18, № 10

СНХ

1987

14 Б3111. Фазовые соотношения и фазовые переходы в области гомогенности чистого CeH_2 — CeH_3 . Phase relationships and phase transitions in the homogeneity range of pure CeH_2 — CeH_3 . Kaldis E., Boroch E., Tellefsen M. «J. Less—Common Metals», 1987, 129, № 1—2, 57—64 (англ.)

В диапазоне т-р 100—300 К методом РСТА и в диапазоне т-р 2,5—450 К методом ДСК исследована фазовая диаграмма моно- и поликрист. образцов системы CeH_x ($2,0 \leq x \leq 3,0$). При комн. т-ре обнаружена новая тетрагон. (T) фаза для составов $2,28 \leq x \leq 2,64$, причем в обл. $2,56 \leq x \leq 2,64$ кубич. (C) и T фазы существуют. Для T параметр решетки a всех составов, за исключением $x=2,43$, одинаков. В образцах $x=2,8$ и $2,9$ в диапазоне т-р 100—240 К существует двухфазная обл. $T+C$, а выше только C . В $x=3,0$ вплоть до 100 К присутствует только C . Для образцов с $x=2,5$ с помощью ДСК обнаружено два сильных пика при 381 и 392 К. Наблюдаемые аномалии в т-рных зависимостях термич. расширения и параметра решетки a фазы C объясняются или возникновением сверхструктур, или изменением валентности Ce. В. А. Ступников

Х. 1987, 19, № 14

left(2)

Loc. 25904

1987

Popde J. A.

$A_f H^o$,

u. n.

J. Phys. Chem., 1987,

91, N 1, 155 - 162.

$\text{eff}_2^+(2)$

[out. 25.904]

1987

Pople J. A.

J. Phys. Chem., 1987,

91, N1, 155-162.

$A_f H^\circ$,

M. H.

1989

Серб
Серб
Бородин
Бородин
X. 1990, № 8

8 Б3082. Успехи в [исследовании] Т—Х-фазовой диаграммы твердых растворов CeH_2 — CeH_3 . Часть I.
Исследование с помощью рентгенографии и ДСК.
Progress in the T—X phase diagram of the solid solution CeH_2 — CeH_3 . Part I. Investigations by X-ray and DSC / Boročić E., Kaldis E. // Z. Phys. Chem. (BRD). — 1989. — 163, № 1. — С. 117—124.— Англ.

Методами рентгенографии и ДСК изучены фазовые соотношения в системе CeH_2 (I) — CeH_3 (II). Содержание водорода в I и II, а также тв. р-рах определяли волюметрич. методом. Представлена фазовая диаграмма системы I—II. Установлено образование трех типов тв. р-ров: кубич., тетрагон. и двухфазной области, к-рая существует при низких т-рах. Тетрагон. тв. р-ры образуются при соотношениях $x = \text{H/Ce}$, равном $\sim 2,15 \sim 2,45$ и т-рах до ~ 380 К. Область кубич. тв. р-ров существует при малых и больших значениях соотношений $x = \text{H/Ce}$, а также в узкой области $x = 2,6—2,66$.

Л. Г. Титов

СеH₂

1989

СеH₂ — СеH₃

5 Е747. Развитие исследований фазовой диаграммы Т—Х для твердого раствора СеH₂—СеH₃. Ч. I. Исследование методами рентгенографии и ДСК. Progress in the T—X phase diagram of the solid solution CeH₂—CeH₃. Pt I: Investigations by X-ray and DSC / Bogoch E., Kaldis E. // Z. phys. Chem. (BRD).— 1989.— 163, № 1.— С. 117—124.— Англ.

С использованием образцов, тщательно контролируемых по составу и примесям, исследованы фазовые превращения и равновесия в системе СеH₂—СеH₃. Предложен уточненный вариант фазовой диаграммы. Отмечено существование в системе широкой двухфазной области.

С. Г.

φ. 1990, N5.

СеH₂

1989

СеH₃

8 Б3083. Успехи [в исследовании] Т—Х-фазовой диаграммы твердых растворов CeH₂—CeH₃. Часть II. Нейtronографические исследования. Тригидриды. Progress in the T—X phase diagram of the solid solution CeH₂—CeH₃. Part II. Neutron Diffraction investigations. Trihydrides / Conder K., Schefer J., Kaldis E., Cai Ru-Xiu // Z. Phys. Chem. (BRD).— 1989.— 163, № 1.— С. 125—134.— Англ.

Методами рентгено- и нейтронографии изучены фазовые соотношения в системе CeH₂ (I) — CeH₃ (II). Изучены составы CeD_x при $x = 2,23; 2,59; 2,64$ и $2,75$ при различных т-рах. Установлено образование нескольких сверхструктур. Подтверждены рентгенографич. данные о существовании двухфазной области и показано образование некубич. II. Л. Г. Титов

X. 1990, N 8

1989

СеH₂ — СеH₃

5 Е748. Развитие исследований фазовой диаграммы Т—Х для твердого раствора CeH₂—CeH₃. Ч. II. Нейtronографическое исследование. Тригидриды. Progress in the T—X phase diagram of the solid solution CeH₂—CeH₃ CeH₃. Pt II. Neutron diffraction investigations. Trihydrides / Conder K., Schefer J., Kaldis E., Cai Ru-Xiu // Z. phys. Chem. (BRD).— 1989.— 163, № 1.— С. 125—134.
— Англ.

Найдено несколько новых сверхструктурных фаз в системе CeH₂—CeH₃. Обнаружены новые тригидриды CeH₃(CeD₃). Методами нейтронографии и рентгенографии порошков зарегистрированы дифракционные спектры новых фаз. Показано, что кристаллич. решетка тригидридов не принадлежит к кубич. сингонии, однако ее действительная симметрия не установлена. Ч. I см. реф. 5Е747. С. Голуб

φ 1990, N5.

CeH_x

1989

Shinar Y., Dehner B.,
et al.

T_{tr}

Z. phys. Chem. (BRD).

1989. 163, N2. C. 591-596.

(crys. LaH_x; I)

Лейпциг

1994

8 Б3087. Процессы упорядочения в монофазе CeH_{2+x} .
Ordering processes in monophase CeH_{2+x} /Ratishvili T. G.,
Vajda P., Boukraa A., Namoradze N. Z. //Phys. Rev. B
—1994.—49, № 22.—С. 15461—15469.—Англ.

(H_2)

Предложена модель последовательности упорядоченных состояний Н в β -фазе CeH_{2+x} (для $x < 0,75$). Предполагается, что это стабильные гомог. монофазные р-ры с фиксир. х. Описание упорядочения основано на аппроксимации среднего поля теории статич. композиц. волн. Найдено, что переход порядок — беспорядок имеет 1-й род для $x < 0,35$ и $0,65 < x < 0,75$ и черты непрерывного перехода 2-го рода для интервала $0,35 < x < 0,65$. Кроме того, при низких т-рах для $x > 0,35$ существует дополнит. переход упорядочения, а в области конц-ий $0,45 < x < 0,56$ переход имеет двухступенчатый характер, включающий превращения 1-го и 2-го рода. В. А. Ступников

X.1995, №8

Levi

22-2

Mr. 88363

1995

Katishvili I. F., Kazda?

Nanoradze N. Z.

g. Alloys and Compo-

menskaya Ind 1995, d 81,

commercial 115-12 O.

Ce-H

1997

127: 56420v The Ce-H (cerium-hydrogen) system. Manchester, F. D.; Pitre, J. M. (Cent. Metal Hydride Stud., McLeannan Phys. Lab., Univ. Toronto, Toronto, ON Can. M5S 1A7). *J. Phase Equilib.* 1997, 18(1), 63-77 (Eng), ASM International. A review with 75 refs. The assessed equil. phase diagram of the title system is presented. The information on hydrogen solv. for the Ce-H system is provided. Crystal structure and lattice parameter data for the Ce-H system are summarized. The thermodn. data for the system is given.

Melius.
Garelik
Clementi

C. A. 1997, 127, N4

1998

F: CeH₂-CeH₃

P: 1

20Б330. Новая Т-х-фазовая диаграмма для системы CeH[2]-CeH[3], исследованная методом ДСК. New T-x phase diagram in the system CeH[2]-CeH[3] investigated by DSC / Wang Longmei, Conder K., Kaldis E. // J. Rare Earths / Chin. Soc. Rare Earths. - 1998. - 16, 1. - С. 10-16. - Англ.

С использованием ДСК проведено систематич. исследование фазовой диаграммы системы CeH[2]-CeH[3]. На основе результатов измерений, проведенных на образцах высокой чистоты и подтвержденных очень точными определениями содержания водорода, предложена новая Т-х-фазовая диаграмма для CeH[x], $2 < x < 3$, для т-р 100-400 К. Эта новая фазовая диаграмма показывает неизвестные до сих пор сложные фазовые отношения с существованием по крайней мере 13 фаз при температурах ниже 400 К.